

תורת הפיזור

מטרה של הפיזור היא למצוא הפונקציה המאופיינת את המצב, הנתונה על ידי המשוואה של שריינדר, בהתאם לתנאי הפיזור, ובהתאם לתנאי הפיזור, ובהתאם לתנאי הפיזור.

התנאי הפיזור הוא תנאי גבול, המגדיר את המצב של המערכת, ובהתאם לתנאי הפיזור, ובהתאם לתנאי הפיזור, ובהתאם לתנאי הפיזור.

$$H = H_0 + V(\vec{r})$$

כאשר $H_0 = \frac{p^2}{2m}$ היא האנרגיה הקינטית, ו- $V(\vec{r})$ היא הפוטנציאל. הפונקציה ψ היא פונקציית הגל, ו- E היא אנרגיית המצב.

$$H_0 \psi = E \psi$$

$$(1) (H_0 + V) \psi^{(+)} = E \psi^{(+)}$$

התנאי הפיזור הוא תנאי גבול, המגדיר את המצב של המערכת, ובהתאם לתנאי הפיזור, ובהתאם לתנאי הפיזור, ובהתאם לתנאי הפיזור.

התנאי הפיזור הוא תנאי גבול, המגדיר את המצב של המערכת, ובהתאם לתנאי הפיזור, ובהתאם לתנאי הפיזור, ובהתאם לתנאי הפיזור.

$$G(\vec{r}-\vec{r}') = \langle \vec{r} | \frac{1}{E-H_0+i\epsilon} | \vec{r}' \rangle$$

$$= \int d^3p \langle \vec{r} | \vec{p} \rangle \frac{1}{E - \frac{p^2}{2m} + i\epsilon} \langle \vec{p} | \vec{r}' \rangle$$

$$= \int d^3p \frac{1}{E - \frac{p^2}{2m} + i\epsilon} \frac{1}{(2\pi\hbar)^3} e^{i\frac{\vec{p}}{\hbar}(\vec{r}-\vec{r}')}$$

$$= \int_0^\infty dp p^2 \int_{-1}^1 d(\cos\theta) \int_0^{2\pi} d\phi \frac{1}{E - \frac{p^2}{2m} + i\epsilon} \frac{1}{(2\pi\hbar)^3} e^{i\frac{p}{\hbar}|\vec{r}-\vec{r}'| \cos\theta}$$

$\vec{r}-\vec{r}'$ ו- \vec{p} הם וקטורים ו- θ הזווית ביניהם. נבחר קואורדינטות כדלהלן.

$$= \frac{2\pi}{(2\pi\hbar)^3} \int_0^\infty dp p^2 \frac{1}{E - \frac{p^2}{2m} + i\epsilon} \frac{e^{i\frac{p}{\hbar}|\vec{r}-\vec{r}'|} - e^{-i\frac{p}{\hbar}|\vec{r}-\vec{r}'|}}{i\frac{p}{\hbar}|\vec{r}-\vec{r}'|}$$

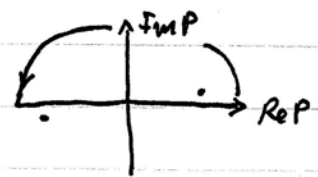
$$= \frac{-1}{(2\pi\hbar)^2} \frac{2m}{i|\vec{r}-\vec{r}'|} \int_{-\infty}^\infty dp \frac{p e^{i\frac{p}{\hbar}|\vec{r}-\vec{r}'|}}{p^2 - 2mE - i\epsilon}$$

עבור $E > 0$ נבחר $\sqrt{2mE}$ ונכתוב $E = \frac{\hbar^2 k^2}{2m}$ ו- $k = \sqrt{2mE}/\hbar > 0$. נכתוב $\epsilon = i\epsilon$.

$$= \frac{1}{(2\pi\hbar)^2} \frac{2mi}{|\vec{r}-\vec{r}'|} \int_{-\infty}^\infty dp \frac{p e^{i\frac{p}{\hbar}|\vec{r}-\vec{r}'|}}{(p - \sqrt{2mE} - i\epsilon)(p + \sqrt{2mE} + i\epsilon)}$$

עבור $E > 0$ נבחר $\sqrt{2mE}$ ונכתוב $E = \frac{\hbar^2 k^2}{2m}$ ו- $k = \sqrt{2mE}/\hbar > 0$. נכתוב $\epsilon = i\epsilon$.
 עבור $E < 0$ נבחר $\sqrt{2m|E|}$ ונכתוב $E = -\frac{\hbar^2 k^2}{2m}$ ו- $k = \sqrt{2m|E|}/\hbar > 0$. נכתוב $\epsilon = i\epsilon$.
 עבור $E = 0$ נבחר $\sqrt{2mE}$ ונכתוב $E = \frac{\hbar^2 k^2}{2m}$ ו- $k = 0$. נכתוב $\epsilon = i\epsilon$.

נניח כי הפונקציה $G(\vec{r}, \vec{r}') = \int \frac{d^3k}{(2\pi)^3} \frac{e^{i\vec{k}\cdot(\vec{r}-\vec{r}')}}{E - E_{\vec{k}} - i\epsilon}$ היא פונקציית גרין מתקדמת עבור המשוואה $(E - H_0 - i\epsilon)\psi = V\psi$. נניח $\epsilon \rightarrow 0^+$.



הפונקציה $p = \sqrt{2mE} + i\epsilon$ היא פונקציית גרין מתקדמת עבור המשוואה $(E - H_0 - i\epsilon)\psi = V\psi$. נניח $\epsilon \rightarrow 0^+$.

$$G(\vec{r}, \vec{r}') = \frac{1}{(2\pi\hbar)^2} \frac{2m\hbar^2}{|\vec{r}-\vec{r}'|} \cdot 2\pi i \frac{\sqrt{2mE} e^{\frac{i}{\hbar}\sqrt{2mE}|\vec{r}-\vec{r}'|}}{2\sqrt{2mE}}$$

$$= -\frac{2m}{\hbar^2} \frac{e^{i\vec{k}\cdot(\vec{r}-\vec{r}')}}{4\pi|\vec{r}-\vec{r}'|}$$

$$\sqrt{2mE} = \sqrt{2m\hbar^2 k^2} = \hbar k \quad \text{עבור } \epsilon \rightarrow 0^+$$

הפונקציה $|\phi\rangle = |\vec{k}\rangle$ היא פונקציית גרין מתקדמת עבור המשוואה $(E - H_0 - i\epsilon)\psi = V\psi$. נניח $\epsilon \rightarrow 0^+$.

$$\psi(\vec{r}) = \frac{1}{(2\pi)^{3/2}} e^{i\vec{k}\cdot\vec{r}} - \frac{2m}{\hbar^2} \int d^3r' \frac{e^{i\vec{k}\cdot(\vec{r}-\vec{r}')}}{4\pi|\vec{r}-\vec{r}'|} V(\vec{r}') \psi(\vec{r}')$$

הפונקציה $\frac{1}{E - H_0 - i\epsilon}$ היא פונקציית גרין מתקדמת עבור המשוואה $(E - H_0 - i\epsilon)\psi = V\psi$. נניח $\epsilon \rightarrow 0^+$. הפונקציה $\frac{1}{E - H_0 + i\epsilon}$ היא פונקציית גרין מתקדמת עבור המשוואה $(E - H_0 + i\epsilon)\psi = V\psi$. נניח $\epsilon \rightarrow 0^+$.

Advanced Green's function (causal) and Retarded Green's functions (causal) are discussed. The retarded Green's function is $G^R(\vec{r}, \vec{r}') = \frac{1}{(2\pi)^3} \int \frac{d^3k}{E - E_{\vec{k}} + i\epsilon} e^{i\vec{k}\cdot(\vec{r}-\vec{r}')} e^{-i(E_{\vec{k}} - E)(t-t')}$.

הפונקציה $\frac{1}{E - H_0 - i\epsilon}$ היא פונקציית גרין מתקדמת עבור המשוואה $(E - H_0 - i\epsilon)\psi = V\psi$. נניח $\epsilon \rightarrow 0^+$. הפונקציה $\frac{1}{E - H_0 + i\epsilon}$ היא פונקציית גרין מתקדמת עבור המשוואה $(E - H_0 + i\epsilon)\psi = V\psi$. נניח $\epsilon \rightarrow 0^+$.

$$|\vec{r}-\vec{r}'| = \sqrt{r^2 - 2\vec{r}\cdot\vec{r}'} \approx r - \frac{\vec{r}\cdot\vec{r}'}{r} \quad ; \quad r = |\vec{r}|$$

הפונקציה $\frac{1}{E - H_0 - i\epsilon}$ היא פונקציית גרין מתקדמת עבור המשוואה $(E - H_0 - i\epsilon)\psi = V\psi$. נניח $\epsilon \rightarrow 0^+$.

$$\psi^{(+) }(\vec{r}) = \frac{1}{(2\pi)^{3/2}} e^{i\vec{k}\cdot\vec{r}} - \frac{2m}{\hbar^2} \frac{e^{i\vec{k}r}}{4\pi r} \int d^3r' e^{-i\vec{k}'\cdot\vec{r}'} V(\vec{r}') \psi^{(+) }(\vec{r}')$$

ישנן שני סוגים של פונקציות גל. $|\vec{k}'| = k$ ו- $\vec{k}' = k \hat{r}$ זהו סוג של פונקציות גל קוליות.

$$\psi^{(+) }(\vec{r}) = \frac{1}{(2\pi)^{3/2}} \left[e^{i\vec{k}\cdot\vec{r}} + f(\vec{k}, \vec{k}') \frac{e^{i\vec{k}'\cdot\vec{r}}}{r} \right]$$

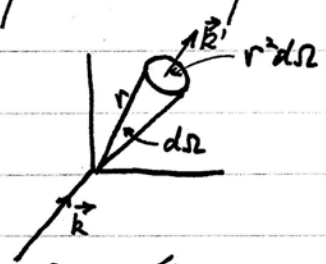
$$\langle \vec{k} | \vec{k}' \rangle = \delta^3(\vec{k} - \vec{k}'), \text{ שיהיה } |\vec{k} \times \vec{k}'| = 1$$

$$f(\vec{k}, \vec{k}') = -\frac{2m}{\hbar^2} \frac{(2\pi)^3}{4\pi} \langle \vec{k}' | V | \psi^{(+) } \rangle$$

$$|\vec{k}\rangle = \frac{1}{(2\pi)^{3/2}} e^{i\vec{k}\cdot\vec{r}} \text{ זהו}$$

אם נניח שהפונקציה f היא פונקציה של \vec{k} ו- \vec{k}' אז הפונקציה $f(\vec{k}, \vec{k}')$ היא פונקציה של \vec{k} ו- \vec{k}' שבהם $|\vec{k}| = |\vec{k}'| = k$.

$\frac{d\sigma}{d\Omega} = \frac{r^2 \frac{d\sigma}{d\Omega}}{r^2}$
 זהו היחס בין הפונקציה $\frac{d\sigma}{d\Omega}$ לבין הפונקציה $r^2 \frac{d\sigma}{d\Omega}$.



היחס בין $\frac{d\sigma}{d\Omega}$ לבין $r^2 \frac{d\sigma}{d\Omega}$ הוא $\frac{1}{r^2}$. זהו היחס בין הפונקציה $\frac{d\sigma}{d\Omega}$ לבין הפונקציה $r^2 \frac{d\sigma}{d\Omega}$.

$$\frac{d\sigma}{d\Omega} = \frac{r^2 d\sigma}{r^2} = r^2 d\sigma \cdot \frac{|f(\vec{k}, \vec{k}')|^2}{r^2}$$

$$\frac{d\sigma}{d\Omega} = |f(\vec{k}, \vec{k}')|^2$$

← זהו היחס בין הפונקציה $\frac{d\sigma}{d\Omega}$ לבין הפונקציה $r^2 \frac{d\sigma}{d\Omega}$.

התנאי שאלו הם קבועים מובילים למצב היציב. מכאן קל לראות כי הסיבוב והתנאי הם זהים. המצב היציב מתקבל כאשר המרחק בין המוקד והנקודה הוא זהה. המרחק בין המוקד והנקודה הוא זהה. המרחק בין המוקד והנקודה הוא זהה.

לחשוב בהתאם למצב היציב. המרחק בין המוקד והנקודה הוא זהה. המרחק בין המוקד והנקודה הוא זהה.

$$\Psi(\vec{r}) = \left(\frac{W^2}{2\pi^3}\right)^{3/4} \int d\vec{q} e^{i\vec{q}\cdot\vec{r}} e^{-W^2(\vec{q}-\vec{k})^2} = \frac{1}{(2\pi W^2)^{3/4}} e^{i\vec{k}\cdot\vec{r}} e^{-\frac{r^2}{4W^2}}$$

הקבועים הם W ו- \vec{k} . המרחק בין המוקד והנקודה הוא זהה. המרחק בין המוקד והנקודה הוא זהה.

המרחק בין המוקד והנקודה הוא זהה. המרחק בין המוקד והנקודה הוא זהה.

$$\Psi(\vec{r}, t) = \left(\frac{W^2}{2\pi^3}\right)^{3/4} \int d\vec{q} e^{i\vec{q}\cdot\vec{r}} e^{-\frac{i\hbar \vec{q}^2 t}{2m}} e^{-W^2(\vec{q}-\vec{k})^2}$$

$$= \left(\frac{W^2}{2\pi^3}\right)^{3/4} \left(\frac{\pi}{W^2 + \frac{i\hbar t}{2m}}\right)^{3/2} e^{-\left[\frac{r^2 - 4iW^2\vec{k}\cdot\vec{r} - 4k^2W^4}{4(W^2 + \frac{i\hbar t}{2m})} + k^2W^2\right]}$$

המרחק בין המוקד והנקודה הוא זהה. המרחק בין המוקד והנקודה הוא זהה.

$$|\Psi(\vec{r}, t)|^2 = \frac{1}{[2\pi W(t)^2]^{3/2}} e^{-\frac{(\vec{r} - \frac{\hbar\vec{k}t}{m})^2}{2W(t)^2}}$$

$$W(t) = \left[W^2 + \left(\frac{\hbar t}{2mW}\right)^2\right]^{1/2} = W \left[1 + \left(\frac{\hbar t}{2mW^2}\right)^2\right]^{1/2}$$

123) $\vec{r} = \frac{\hbar \vec{k}}{m} t$ אפוא t נוסח \vec{r} ו- $\frac{\hbar \vec{k}}{m}$ כמותו \vec{r} הולך ומתרחק מהמקור במהירות $v = \frac{\hbar k}{m}$.
 במרחק r נתון, $E = \frac{\hbar^2 k^2}{2m}$ הוא המצב היחיד, הולך ומתרחק מהמקור בקצב $v = \frac{\hbar k}{m}$.

כאשר $t \ll \frac{mW}{\hbar}$ גודל המצב היחיד \vec{r} הוא קטן בהרבה מ- $\frac{mW}{\hbar}$ ולכן $\vec{r} \approx \frac{\hbar \vec{k}}{m} t$.

$$\Psi(\vec{r}, t) = \left(\frac{W^2}{2\pi^3}\right)^{3/4} \int d\vec{q} e^{i(\vec{q}+\vec{k})\vec{r}} e^{-\frac{i}{\hbar} \frac{\hbar^2}{2m} (\vec{q}+\vec{k})^2 t} e^{-W^2 q^2}$$

$$\frac{\hbar}{2m} (k^2 + 2\vec{k}\vec{q} + q^2) t = \frac{\hbar}{2m} (k^2 + 2\vec{k}\vec{q})$$

אם $\frac{\hbar k t}{mW^2} \ll 1$! $q \sim \frac{1}{W}$ מכל מקום $\frac{\hbar k t}{mW^2} \ll 1$!

$$\Psi(\vec{r}, t) = \frac{1}{(2\pi W^2)^{3/4}} e^{-\frac{i}{\hbar} \frac{\hbar^2 k^2}{2m} t} e^{i\vec{k}\vec{r}} e^{-\frac{(\vec{r} - \frac{\hbar \vec{k}}{m} t)^2}{4W^2}}$$

המקור נמצא במרחק $r = \frac{\hbar k}{m} t$ מהמקור. המצב היחיד \vec{r} הוא קטן בהרבה מ- $\frac{mW}{\hbar}$ ולכן $\vec{r} \approx \frac{\hbar \vec{k}}{m} t$.
 המצב היחיד \vec{r} הוא קטן בהרבה מ- $\frac{mW}{\hbar}$ ולכן $\vec{r} \approx \frac{\hbar \vec{k}}{m} t$.
 המצב היחיד \vec{r} הוא קטן בהרבה מ- $\frac{mW}{\hbar}$ ולכן $\vec{r} \approx \frac{\hbar \vec{k}}{m} t$.

$$\Psi(\vec{r}, t) = \left(\frac{W^2}{2\pi^3}\right)^{3/4} \int d\vec{q} \left[e^{i\vec{q}\vec{r}} + f(\vec{q}, \vec{q}') \frac{e^{i\vec{q}'\vec{r}}}{r} \right] e^{-\frac{i}{\hbar} \frac{\hbar^2 q^2}{2m} t} e^{-(\vec{q}-\vec{k})^2 W^2}$$

אם $W \gg a$ כלומר $W \gg \frac{\hbar}{m a}$ אז $W \gg \frac{\hbar}{m a}$ ו- $W \gg \frac{\hbar}{m a}$.
 אם $W \gg a$ אז $W \gg \frac{\hbar}{m a}$ ו- $W \gg \frac{\hbar}{m a}$.
 אם $W \gg a$ אז $W \gg \frac{\hbar}{m a}$ ו- $W \gg \frac{\hbar}{m a}$.

$$|\psi^{(+)}\rangle = |\phi\rangle + \frac{1}{E - H_0 + i\epsilon} V |\psi^{(+)}\rangle$$

Lippmann-Schwinger equation
 $|\psi^{(+)}\rangle$ is the exact wave function
 and $|\phi\rangle$ is the unperturbed wave function

$$|\psi^{(+)}\rangle = |\phi\rangle + \frac{1}{E - H_0 + i\epsilon} V |\phi\rangle + \frac{1}{E - H_0 + i\epsilon} V \frac{1}{E - H_0 + i\epsilon} V |\phi\rangle + \dots$$

$$\psi^{(+)}(\vec{r}) = \phi(\vec{r}) + \int d\vec{r}' G(\vec{r} - \vec{r}') V(\vec{r}') \phi(\vec{r}') + \int d\vec{r}' d\vec{r}'' G(\vec{r} - \vec{r}') V(\vec{r}') G(\vec{r}' - \vec{r}'') V(\vec{r}'') \phi(\vec{r}'') + \dots$$

The Born expansion is a series expansion of the exact wave function $\psi^{(+)}(\vec{r})$ in powers of the potential V .
 The propagator $G(\vec{r}, \vec{r}') = \langle \vec{r} | \frac{1}{E - H_0 + i\epsilon} | \vec{r}' \rangle$ is the Green's function of the free Hamiltonian H_0 .
 The Born expansion is valid for weak potentials and for energies E not equal to the eigenvalues of H_0 .

(T-matrix) transition operator - the matrix element of the transition operator T is given by

$$V |\psi^{(+)}\rangle = T |\phi\rangle$$

where V is the potential

$$T = V + V \frac{1}{E - H_0 + i\epsilon} V + V \frac{1}{E - H_0 + i\epsilon} V \frac{1}{E - H_0 + i\epsilon} V + \dots$$

The transition operator T is a function of the energy E and the potential V .
 The Born expansion of T is given by $T = V + V G_0 V + \dots$

$$f(\vec{k}, \vec{k}') = -\frac{2m}{\hbar^2} \frac{(2\pi)^3}{4\pi} \langle \vec{k}' | V | \psi^{(+)} \rangle$$

$$= -\frac{2m}{\hbar^2} \frac{(2\pi)^3}{4\pi} \langle \vec{k}' | T | \vec{k} \rangle$$

T is the transition operator

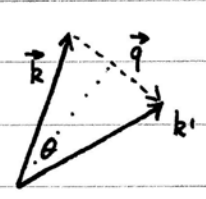
קרינה Born (מסדר ראשון) מקבלת את הטרנספורמנטציה $T \delta$ וזו היא הנקודה $T=V$

$$f^{(1)}(\vec{k}, \vec{k}') = -\frac{1}{4\pi} \frac{2m}{\hbar^2} \int d^3r e^{i(\vec{k}-\vec{k}')\cdot\vec{r}} V(\vec{r})$$

הקרינה הראשונה נובעת מכך שיש אינטראקציה בין הקרינה לבין הפוטנציאל $V(r)$. המומנטום המועבר $\vec{q} = \vec{k} - \vec{k}'$ הוא המומנטום המועבר בין הקרינה לבין הפוטנציאל.

$$\begin{aligned} (1) \quad f^{(1)}(\vec{k}, \vec{k}') = f^{(1)}(\theta) &= -\frac{1}{4\pi} \frac{2m}{\hbar^2} \int_0^\pi d\varphi \int_{-1}^1 d\cos\theta \int_0^\infty dr r^2 e^{iqr \cos\theta} V(r) \\ &= -\frac{m}{\hbar^2} \int_0^\infty dr r^2 \frac{e^{iqr} - e^{-iqr}}{iqr} V(r) \\ &= -\frac{2m}{\hbar^2} \frac{1}{q} \int_0^\infty dr r V(r) \sin(qr) \end{aligned}$$

$$q = |\vec{k} - \vec{k}'| = 2k \sin \frac{\theta}{2}$$



הזווית θ היא הזווית בין \vec{k} ל- \vec{k}'

Rutherford קרינה

הקרינה הראשונה היא הקרינה של Rutherford, כלומר, קרינה של מטען Ze על מטען Ze' . הפוטנציאל הוא $V(r) = ZZ'e^2$. הפוטנציאל של יוקאווה (Yukawa) הוא $V(r) = V_0 \frac{e^{-\mu r}}{r}$.

$$V(r) = V_0 \frac{e^{-\mu r}}{r}$$

ד. $f(u) \neq 0$. מהי הנכונות של $\sigma = 0$ (הנכונות של $\sigma = 0$ היא כן).
 נכונות הנכונות של $\sigma = 0$ היא כן. $\sigma = 0$ היא כן. $\sigma = 0$ היא כן.

ז. קרינת בורן היא $\frac{d\sigma}{d\Omega}$ היא כן. $\frac{d\sigma}{d\Omega}$ היא כן. $\frac{d\sigma}{d\Omega}$ היא כן.

3. קרינת בורן היא $\frac{d\sigma}{d\Omega}$ היא כן. $\frac{d\sigma}{d\Omega}$ היא כן. $\frac{d\sigma}{d\Omega}$ היא כן.
 קרינת בורן היא $\frac{d\sigma}{d\Omega}$ היא כן. $\frac{d\sigma}{d\Omega}$ היא כן. $\frac{d\sigma}{d\Omega}$ היא כן.
 קרינת בורן היא $\frac{d\sigma}{d\Omega}$ היא כן. $\frac{d\sigma}{d\Omega}$ היא כן. $\frac{d\sigma}{d\Omega}$ היא כן.
 קרינת בורן היא $\frac{d\sigma}{d\Omega}$ היא כן. $\frac{d\sigma}{d\Omega}$ היא כן. $\frac{d\sigma}{d\Omega}$ היא כן.
 קרינת בורן היא $\frac{d\sigma}{d\Omega}$ היא כן. $\frac{d\sigma}{d\Omega}$ היא כן. $\frac{d\sigma}{d\Omega}$ היא כן.
 קרינת בורן היא $\frac{d\sigma}{d\Omega}$ היא כן. $\frac{d\sigma}{d\Omega}$ היא כן. $\frac{d\sigma}{d\Omega}$ היא כן.
 קרינת בורן היא $\frac{d\sigma}{d\Omega}$ היא כן. $\frac{d\sigma}{d\Omega}$ היא כן. $\frac{d\sigma}{d\Omega}$ היא כן.
 קרינת בורן היא $\frac{d\sigma}{d\Omega}$ היא כן. $\frac{d\sigma}{d\Omega}$ היא כן. $\frac{d\sigma}{d\Omega}$ היא כן.

ה. מהי הנכונות של $\sigma = 0$ (הנכונות של $\sigma = 0$ היא כן).
 נכונות הנכונות של $\sigma = 0$ היא כן. $\sigma = 0$ היא כן. $\sigma = 0$ היא כן.

$$V(\vec{r}) = \int d\vec{r}' \frac{Z'e^2}{|\vec{r}-\vec{r}'|} \rho(\vec{r}')$$

מהי הנכונות של $V(\vec{r})$ היא כן. $V(\vec{r})$ היא כן. $V(\vec{r})$ היא כן.
 מהי הנכונות של $V(\vec{r})$ היא כן. $V(\vec{r})$ היא כן. $V(\vec{r})$ היא כן.
 מהי הנכונות של $V(\vec{r})$ היא כן. $V(\vec{r})$ היא כן. $V(\vec{r})$ היא כן.
 מהי הנכונות של $V(\vec{r})$ היא כן. $V(\vec{r})$ היא כן. $V(\vec{r})$ היא כן.

$$f(\theta) = -\frac{2m}{\hbar^2} \frac{Z'e^2}{q^2} \int d\vec{r}' \rho(\vec{r}') e^{i\vec{q}\cdot\vec{r}'} = f_{\text{point-like}}(\theta) F(q)$$

$$f_{\text{point-like}}(\theta) = -\frac{2m}{\hbar^2} \frac{ZZ'e^2}{q^2}$$

ע"כ

! תנאי הפיזור של מרחק קטן

$$F(q) = \frac{1}{Z} \int d\vec{r} \rho(\vec{r}) e^{i\vec{q}\cdot\vec{r}}$$

היא עקב המרחק (form-factor) הנתון במרחב הריבועי $F(\vec{q})=1$ במקרה זה הפיזור הנצפית יהיה רק

$$\frac{d\sigma}{d\Omega} = \left. \frac{d\sigma}{d\Omega} \right|_{\text{point-like}} |F(\vec{q})|^2$$

ניסויים מאתגרים יותר להפיזור אלקטרוני מבוטל הנתון על ידי תנאי הפיזור הנצפית. $Z = \frac{4}{3} \pi a^3 \rho_0$ ע"כ a קבוע קרוי ρ_0 אטומי

$$F(q) = \frac{1}{Z} \int_0^a dr r^2 \rho_0 \int_0^{2\pi} d\phi \int_{-1}^1 d\cos\theta e^{iqr \cos\theta}$$

$$= \frac{4\pi\rho_0}{Zq^3} \int_0^a dr r \sin qr$$

$$= 3 \frac{\sin(qa) - qa \cos(qa)}{(qa)^3}$$

ק"כ למעלה כי $F(q)$ מוגדר כמילוי התנאים הנ"ל. עבור qa גדול הוא נשאר $\frac{1}{q^2}$ ונראה בקירוב כאלו $qa = \frac{\pi}{2} + \pi n$. המאמר המלא יותר על הפיזור הנצפית ע"כ יתבר כי צפיפות המסה קטנה באופן מהותי אך יותר אטומי קבוע אך יותר. רמת האנרגיה של המסה $A = Z + N$ מספר המסה (הפרוטונים והנייטרונים) $1 \text{ fm} = 10^{-15} \text{ m}$ כ $1.12 \text{ fm} \times A^{1/3}$ מספר $10^4 - 10^5$ מספר אטומי המאכלס.

המרחק של 70 הנ"ל הוא הקוטר נוסף פיזור קוארנטים גדולה של אלקטרונים - כמילוי המסה $F(q) = \frac{1}{[1 + (qa_p)^2]^2}$ כאשר $a_p = 0.26 \text{ fm}$ ק"כ אטומי התנאים של מקרה קבוע מרחק קטן

כדור אטומי של רדיוס a וצפיפות $\rho(r) \propto e^{-\frac{r}{a}}$. היחס Z הוא המספר האטומי הנכנס לתוך הכדור. המסה M היא המסה הכוללת של הכדור.

קבעו את הפוטנציאל $V(\vec{r})$ של חלקיק טעון q הנמצא במרחק r מהמרכז. השתמשו במשפט של קולומב. המרחק r הוא המרחק מהמרכז.

$$V(\vec{r}) = \frac{ZZ'e^2}{r} - \int d\vec{r}' \frac{Ze^2}{|\vec{r}-\vec{r}'|} \rho(\vec{r}')$$

כאשר $\rho(\vec{r})$ הוא צפיפות המטען. $\int d\vec{r}' \rho(\vec{r}') = Z$ הוא המטען הכולל. $f(\theta)$ היא הפונקציה $f(\theta)$ המכילה את כל המידע על הפיזור.

$$f(\theta) = -\frac{2m}{\hbar^2} \frac{ZZ'e^2}{q^2} \left[1 - \frac{1}{Z} \int d\vec{r}' e^{i\vec{q}\cdot\vec{r}'} \rho(\vec{r}') \right]$$

Bohr, $a = \frac{\hbar^2}{me^2}$ כאשר $\rho(\vec{r}) = \frac{1}{\pi a^3} e^{-\frac{2r}{a}}$ עבור $Z=1$, המרחק a הוא רדיוס בוהר. $\int d\vec{r}' e^{i\vec{q}\cdot\vec{r}'} \rho(\vec{r}') = \frac{16}{(4+q^2a^2)^2}$ עבור $Z=1$.

$$f(\theta) = -\frac{2m}{\hbar^2} Z'e^2 a^2 \frac{8 + (qa)^2}{[4 + (qa)^2]^2}$$

אם $qa \gg 1$ (מרחק קטן) אז $f(\theta) \approx -\frac{2m}{\hbar^2} Z'e^2 a^2 \frac{1}{(qa)^2}$. אם $qa \ll 1$ (מרחק גדול) אז $f(\theta) \approx -\frac{2m}{\hbar^2} Z'e^2 a^2 \frac{8}{16} = -\frac{2m}{\hbar^2} Z'e^2 a^2 \frac{1}{2}$.

$$\sigma = \int d\Omega |f(\theta)|^2 = \pi \left(\frac{2m}{\hbar^2} Z'e^2 a^2 \right)^2 \left[\frac{1}{1+(ka)^2} + \frac{1}{(ka)^2} \ln[1+(ka)^2] \right]$$

$$\sigma(k=0) = 2\pi \left(\frac{2mZ'e^2 a^2}{\hbar^2} \right)^2 = 8\pi Z'^2 \left(\frac{m}{m_e} \right)^2 a^2 \quad \text{כאשר } k \rightarrow 0 \text{ הינה}$$

הנהגה זו היא שיש להחליף את המסה m במסה m_e כי $m \gg m_e$ ו- πa^2 מכיל את המסה m של הפרוטון. T -matrix של $k \gg a^{-1}$ היא $\frac{1}{(ka)^2}$.

$$\sigma(k \gg a^{-1}) = 8\pi Z'^2 \left(\frac{m}{m_e} \right)^2 a^2 \frac{1}{(ka)^2}$$

המשוואה של Lippmann-Schwinger $\psi^{(+)}(\vec{r})$ היא $\psi^{(+)}(\vec{r}) = \phi(\vec{r}) + \int d\vec{r}' \frac{e^{i k |\vec{r}-\vec{r}'|}}{4\pi |\vec{r}-\vec{r}'|} V(\vec{r}') \psi^{(+)}(\vec{r}')$. כאשר $\phi(\vec{r}) = e^{i \vec{k} \cdot \vec{r}}$ היא הפונקציה החופשית. $\psi^{(+)}(\vec{r})$ היא הפונקציה המבוזרת. $V(\vec{r})$ היא הפוטנציאל. $\psi^{(+)}(\vec{r})$ היא הפונקציה המבוזרת. $\psi^{(+)}(\vec{r})$ היא הפונקציה המבוזרת.

$$\left| \frac{2m}{\hbar^2} \int d\vec{r}' \frac{e^{i k |\vec{r}-\vec{r}'|}}{4\pi |\vec{r}-\vec{r}'|} V(\vec{r}') e^{i \vec{k} \cdot \vec{r}'} \right| \ll 1$$

יש להניח $\vec{r} \gg a$ כדי ש- $\vec{r}' \approx \vec{r}$ ו- $|\vec{r}-\vec{r}'| \approx r$. $\vec{r}' \approx \vec{r}$ ו- $|\vec{r}-\vec{r}'| \approx r$.

$$\frac{2m}{\hbar^2} \left| \int d\vec{r}' \frac{e^{i k r}}{4\pi r} V(\vec{r}') e^{i \vec{k} \cdot \vec{r}'} \right| \ll 1$$

המשוואה $\frac{2m}{\hbar^2} |V_0| a^2 \ll 1$ היא תנאי היעדר פיזור חזק. V_0 היא עוצמת הפוטנציאל.

$$\frac{m}{\hbar^2} |V_0| a^2 \ll 1 \quad \text{כאשר } k \ll a^{-1} \text{ הנהגה זו היא}$$

המשוואה $\frac{m}{\hbar^2} |V_0| \frac{a}{k} \ll 1$ היא תנאי היעדר פיזור חזק. $\frac{m}{\hbar^2} |V_0| \frac{a}{k} \ll 1$ היא תנאי היעדר פיזור חזק. $\frac{m}{\hbar^2} |V_0| \frac{a}{k} \ll 1$ היא תנאי היעדר פיזור חזק.

אנו נחשב את הפונקציה $f^{(1)}(\theta)$ עבור פוטנציאל סגור $V(r) = V_0$ עבור $r < a$ ו-0 אחרת. נניח $ka \gg 1$ ו- $q \ll a^{-1}$.

$$f^{(1)}(\theta) = -\frac{1}{4\pi} \frac{2m}{\hbar^2} \int d\vec{r} V(\vec{r}) e^{i\vec{q}\cdot\vec{r}}$$

$$\sim -\frac{1}{4\pi} \frac{2m}{\hbar^2} V_0 \frac{4\pi a^3}{3}$$

במידה כזו $k \ll a^{-1}$ והפונקציה $f^{(1)}(\theta)$ היא פונקציה של ka בלבד.
 $f^{(1)}(\theta) \ll a \Rightarrow \sigma = \int d\Omega |f^{(1)}(\theta)|^2 \ll \pi a^2$

יש הסבר שניתן למצוא עבור פוטנציאל ריתרפורד $V(r) \propto 1/r$ עבור $k \rightarrow 0$.
 פונקציה כזו היא פונקציה בורן $Born$ והיא מתארת את התנהגות החלקיקים הנכנסים.
 המצב יש לומר קוטביות.

במקרה של פוטנציאל בורן $V(r) \propto 1/r$ יש להשתמש בשיטת פונקציות חלקיות (partial wave analysis).
 הפונקציה $\psi(r, \theta, \phi)$ היא פונקציה של r, θ, ϕ והיא ניתנת לפרוץ לפונקציות חלקיות.
 הפונקציה $\psi(r, \theta, \phi)$ היא פונקציה של r, θ, ϕ והיא ניתנת לפרוץ לפונקציות חלקיות.
 הפונקציה $\psi(r, \theta, \phi)$ היא פונקציה של r, θ, ϕ והיא ניתנת לפרוץ לפונקציות חלקיות.

הפונקציה $\psi(\vec{r}) = R(r) Y_l^m(\theta, \phi)$ היא פונקציה של r, θ, ϕ והיא ניתנת לפרוץ לפונקציות חלקיות.
 הפונקציה $Y_l^m(\theta, \phi)$ היא פונקציה של θ, ϕ והיא ניתנת לפרוץ לפונקציות חלקיות.
 הפונקציה $Y_l^m(\theta, \phi)$ היא פונקציה של θ, ϕ והיא ניתנת לפרוץ לפונקציות חלקיות.

$$-\frac{\hbar^2}{2m} \left[\frac{1}{r} \frac{d^2}{dr^2} (rR) - \frac{l(l+1)}{r^2} R \right] + V(r)R = ER$$

התנאי הסימטרי: $V=0$ ושיעור המסה $E = \frac{\hbar^2 k^2}{2m}$ | $\rho = kr$ | הנתון האחרון

$$\frac{1}{\rho} \frac{d^2}{d\rho^2} (\rho R) - \frac{l(l+1)}{\rho^2} R + R = 0$$

הפתרון הכללי של הנושא הזה (Spherical Bessel functions) הוא $R \propto \rho^n$ כאשר $n(n+1) - l(l+1) = 0$.
הפתרון הכללי של הנושא הזה (Spherical Bessel functions) הוא $R \propto \rho^n$ כאשר $n(n+1) - l(l+1) = 0$.
הפתרון הכללי של הנושא הזה (Spherical Bessel functions) הוא $R \propto \rho^n$ כאשר $n(n+1) - l(l+1) = 0$.

$J_l(\rho) \xrightarrow[\rho \gg l]{\rho \rightarrow \infty} \frac{\sin(\rho - \frac{l\pi}{2})}{\rho}$ כאשר $\rho \rightarrow \infty$ ו- $J_l(\rho) \propto \rho^{-l}$ כאשר $\rho \rightarrow 0$

$N_l(\rho) \xrightarrow[\rho \gg l]{\rho \rightarrow \infty} -\frac{\cos(\rho - \frac{l\pi}{2})}{\rho}$ כאשר $\rho \rightarrow \infty$ ו- $N_l(\rho) \propto \rho^{-l}$ כאשר $\rho \rightarrow 0$

הפתרון הכללי של הנושא הזה (Spherical Bessel functions) הוא $R \propto \rho^n$ כאשר $n(n+1) - l(l+1) = 0$.

$$J_l(\rho) = \frac{1}{2^l l!} \left(\frac{\rho}{2}\right)^l \int_{-1}^1 dt e^{i\rho t} (1-t^2)^l$$

הפתרון הכללי של הנושא הזה (Spherical Bessel functions) הוא $R \propto \rho^n$ כאשר $n(n+1) - l(l+1) = 0$.

$$= \frac{1}{2^l l!} \left(\frac{\rho}{2}\right)^l \int_{-1}^1 dt \frac{e^{i\rho t}}{(i\rho)^l} \left(-\frac{d}{dt}\right)^l (1-t^2)^l$$

$P_l(t) = \frac{1}{2^l l!} \frac{d^l}{dt^l} (t^2-1)^l$ כאשר $P_l(t)$ הוא פולינום לגנדרה

$$J_l(\rho) = \frac{1}{2^l l!} \int_{-1}^1 dt e^{i\rho t} P_l(t)$$

פולינומי לגנדרה Legendre מדרגה n נמצאים על הקטע [-1, 1]

$$\int_{-1}^1 dt P_n(t) P_m(t) = \frac{2}{2n+1} \delta_{n,m}$$

$$\sum_{n=0}^{\infty} \frac{2n+1}{2} P_n(t) P_n(t') = \delta(t-t')$$

הקשר $\frac{P_n(t)}{\sqrt{2/(2n+1)}}$ בין הפולינומים הנורמליים

הפולינום $P_l(t)$ הוא פולינום $(2l+1)P_l(t')$ ו- (1) הוא

$$\sum_{l=0}^{\infty} (2l+1) i^l P_l(t) J_l(\rho) = e^{i\rho t}$$

הקשר $t = \cos \theta$ ו- $\rho = kr$ נובע מההצבה $t = \cos \theta$ ו- $\rho = kr$ ו- $t = \cos \theta$ ו- $\rho = kr$

$$e^{ikz} = \sum_{l=0}^{\infty} (2l+1) i^l J_l(kr) P_l(\cos \theta)$$

$$\xrightarrow{r \rightarrow \infty} \frac{1}{2ik} \sum_{l=0}^{\infty} (2l+1) \left[\frac{e^{ikr}}{r} - \frac{e^{-i(kr-l\pi)}}{r} \right] P_l(\cos \theta)$$

הקשר $J_l(x) \sim \sqrt{\frac{2}{\pi x}} \cos(x - \frac{l\pi}{2})$ עבור $x \rightarrow \infty$

הקשר $J_l(x) \sim \sqrt{\frac{2}{\pi x}} \cos(x - \frac{l\pi}{2})$ עבור $x \rightarrow \infty$ ו- $J_l(x) \sim \frac{x^l}{2^l l!}$ עבור $x \rightarrow 0$ (Lippmann-Schwinger)

$$\psi^{(+) }(\vec{r}) \xrightarrow{r \rightarrow \infty} \frac{1}{(2\pi)^{3/2}} \left[e^{ikz} + f(\vec{k}, \vec{k}') \frac{e^{ikr}}{r} \right]$$

הקשר $f(\vec{k}, \vec{k}') = f(\theta)$ ו- $\vec{k} = k\hat{z}$ ו- $\vec{k}' = k\hat{z}'$ ו- θ הוא הזווית בין \vec{k} ו- \vec{k}'

הקשר $f(\vec{k}, \vec{k}') = f(\theta) = \sum_{l=0}^{\infty} (2l+1) f_l(k) P_l(\cos \theta)$ ו- $f_l(k) = \frac{1}{k} \frac{d}{dk} \left[k^{2l+1} a_l(k) \right]$ ו- $a_l(k) = \frac{1}{2} \left[S_l - 1 \right]$ ו- $S_l = e^{2i\delta_l}$ ו- δ_l היא הפרשי המراحل

$$f(\vec{k}, \vec{k}') = f(\theta) = \sum_{l=0}^{\infty} (2l+1) f_l(k) P_l(\cos \theta)$$

הקשר $f_l(k) = \frac{1}{k} \frac{d}{dk} \left[k^{2l+1} a_l(k) \right]$ ו- $a_l(k) = \frac{1}{2} \left[S_l - 1 \right]$ ו- $S_l = e^{2i\delta_l}$ ו- δ_l היא הפרשי המراحل

קמות ה phase shifts המכילי הבעי נטוה ה יזי

$$f(\theta) = \frac{1}{k} \sum_{\ell=0}^{\infty} (2\ell+1) e^{i\delta_{\ell}} \sin \delta_{\ell} P_{\ell}(\cos \theta)$$

$$\sigma = \int d\Omega |f(\theta)|^2$$
 והנ הבעי הכולי

$$= \frac{1}{k^2} \int_0^{2\pi} d\varphi \int_{-1}^1 d\cos \theta \sum_{\ell=0}^{\infty} \sum_{\ell'=0}^{\infty} (2\ell+1)(2\ell'+1) e^{i(\delta_{\ell}-\delta_{\ell'})} \sin \delta_{\ell} \sin \delta_{\ell'} P_{\ell}(\cos \theta) P_{\ell'}(\cos \theta)$$

$$= \frac{4\pi}{k^2} \sum_{\ell=0}^{\infty} (2\ell+1) \sin^2 \delta_{\ell}$$

Pe ה le המכילי הבעי הבעי

אז הבעי כ קימ עקב מקולי אבעי למק הבעי ה כל ה הלין : $\sigma_{max}^{(e)} = \frac{4\pi}{k^2} (2\ell+1)$
הוא מקולי עקב phase shift $\delta_{\ell} = \pm \frac{\pi}{2}$. מקולי זה קולי הבעי הכולי (unitary limit).

קולי זה נטו הבעי אבעי הבעי הבעי הבעי : נטו כ אז מבעי הלין פ קולי הבעי הבעי

impact parameter b הבעי הבעי . הלין הבעי $L = pb$. קולי הבעי הבעי הבעי

קולי הבעי הבעי הבעי הבעי $L = \hbar k b$. נטו כ הבעי הבעי הבעי הבעי הבעי

הבעי הבעי הבעי הבעי הבעי $\frac{\ell}{R} < b < \frac{\ell+1}{R}$. הבעי הבעי הבעי הבעי הבעי

הבעי הבעי הבעי הבעי הבעי $\pi \left(\frac{\ell+1}{R}\right)^2 - \pi \left(\frac{\ell}{R}\right)^2 = \frac{\pi}{R^2} (2\ell+1)$. הבעי הבעי הבעי הבעי הבעי

הבעי הבעי הבעי הבעי הבעי $r > R$. הבעי הבעי הבעי הבעי הבעי

הבעי הבעי הבעי הבעי הבעי $e^{i\delta_{\ell}} P_{\ell}(\cos \theta)$. הבעי הבעי הבעי הבעי הבעי

\$r > R\$ פה סכום כל הסדרות

$$\Psi^{(4)}(\vec{r}) = \frac{1}{(2\pi)^{3/2}} \sum_{l=0}^{\infty} (2l+1) i^l e^{i\delta_l} [\cos \alpha_l j_l(kr) - \sin \alpha_l n_l(kr)] P_l(\cos \theta) \quad (1)$$

הצגה נכונה. המונחים \$j_l\$ ו-\$n_l\$ הם פונקציות סגורות ופתוחות בהתאמה.
 נרצה להראות שהצגה זו היא 1 עבור \$r > R\$ (כלומר \$l\$ סופי) ו-\$n_l\$ ו-\$j_l\$ הם פונקציות סגורות ופתוחות בהתאמה.

$$\xrightarrow{r \rightarrow \infty} \frac{1}{(2\pi)^{3/2}} \sum_{l=0}^{\infty} (2l+1) i^l e^{i\delta_l} \frac{1}{kr} \sin\left(kr - l\frac{\pi}{2} + \alpha_l\right) P_l(\cos \theta)$$

הצגה זו היא פתרון של משוואת הלפונג עם תנאי גבול מסוימים.

$$\begin{aligned} \Psi^{(4)}(\vec{r}) &\xrightarrow{r \rightarrow \infty} \frac{1}{(2\pi)^{3/2}} \sum_{l=0}^{\infty} (2l+1) \frac{1}{2ik} \left[\frac{e^{2i\delta_l} e^{ikr}}{r} - \frac{e^{-i(kr-l\pi)}}{r} \right] P_l(\cos \theta) \\ &= \frac{1}{(2\pi)^{3/2}} \sum_{l=0}^{\infty} (2l+1) i^l e^{i\delta_l} \frac{1}{kr} \sin\left(kr - l\frac{\pi}{2} + \delta_l\right) P_l(\cos \theta) \end{aligned}$$

ההבדל בין (1) ל-(2) הוא בגורם \$e^{i\delta_l}\$ ו-\$\alpha_l = \delta_l\$.

נניח ש-\$R\$ הוא רדיוס הגבול. נרצה להראות שההצגה היא פתרון של משוואת הלפונג עם תנאי גבול מסוימים.

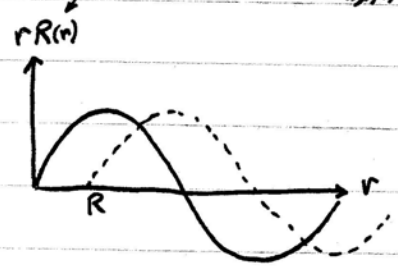
$$\begin{aligned} \left. \frac{d \ln Re}{d \ln r} \right|_{r=R} &= r \left. \frac{dRe}{dr} \right|_{r=R} \\ &= KR \frac{\cos \delta_l \frac{dj_l(kr)}{d(kr)} - \sin \delta_l \frac{dn_l(kr)}{d(kr)}}{\cos \delta_l j_l(kr) - \sin \delta_l n_l(kr)} \Big|_{r=R} = KR \frac{\frac{dj_l(kr)}{d(kr)} - \tan \delta_l \frac{dn_l(kr)}{d(kr)}}{j_l(kr) - \tan \delta_l n_l(kr)} \Big|_{r=R} \quad (2) \end{aligned}$$

המשוואה היא \$-\frac{1}{r} \frac{d^2}{dr^2}(rRe) - \frac{l(l+1)}{r^2} Re - \frac{2m}{\hbar^2} V(r) Re + k^2 Re = 0\$.
 עבור \$r > R\$, \$V(r) = 0\$. נרצה להראות שההצגה היא פתרון של משוואת הלפונג עם תנאי גבול מסוימים.

$$\tan \delta_l = \frac{KR \frac{dj_l(kr)}{d(kr)} - \beta_l j_l(kr)}{KR \frac{dn_l(kr)}{d(kr)} - \beta_l n_l(kr)} \Big|_{r=R} \quad : KR \rightarrow 0 \text{ נדר}$$

התנאים הנתונים

התנאים הנתונים הם $r < R$ והוא נשאל על מה יהיה σ_0 ומה יהיה a .



$$\sigma_0 = \frac{4\pi}{k^2} \sin^2 \delta_0 = \frac{4\pi}{k^2} \sin^2 kR$$

S-wave scattering N של $k \rightarrow 0$ הוא $\sigma_0 \xrightarrow{k \rightarrow 0} 4\pi R^2$: $k=0$ זהו הגודל של σ_0 עבור $k=0$.

הוא σ_0 זהו הגודל של σ_0 עבור $k=0$ והוא $4\pi R^2$ זהו הגודל של σ_0 עבור $k=0$. scattering length זהו הגודל של a .

$$a = - \lim_{k \rightarrow 0} \frac{d\delta_0}{dk}$$

$\sigma_0 = 4\pi a^2$: $k \rightarrow 0$ זהו הגודל של σ_0 עבור $k=0$ והוא $4\pi a^2$ זהו הגודל של σ_0 עבור $k=0$.

$\delta_0 = -ak < 0$ $k \rightarrow 0$ זהו הגודל של δ_0 עבור $k=0$ והוא $-a$ זהו הגודל של δ_0 עבור $k=0$. $a > 0$ זהו הגודל של a והוא $a > 0$ זהו הגודל של a .

הוא δ_0 זהו הגודל של δ_0 עבור $k=0$ והוא $-a$ זהו הגודל של δ_0 עבור $k=0$. $a > 0$ זהו הגודל של a והוא $a > 0$ זהו הגודל של a . $\delta_0 \sim e^{-2\sqrt{V_0 - (kR)^2}}$ $l > kR$ | $kR \gg 1$ זהו הגודל של δ_0 עבור $k=0$ והוא $-a$ זהו הגודל של δ_0 עבור $k=0$.

$$\sin^2 \delta_0 = \frac{\tan^2 \delta_0}{1 + \tan^2 \delta_0} = \frac{j_c^2(kR)}{j_c^2(kR) + n_c^2(kR)} \approx \sin^2 \left(kR - \frac{l\pi}{2} \right)$$

$l < kR$ | $k \rightarrow \infty$ זהו הגודל של δ_0 עבור $k=0$ והוא $-a$ זהו הגודל של δ_0 עבור $k=0$. $a > 0$ זהו הגודל של a והוא $a > 0$ זהו הגודל של a .

$$\sin^2 \delta_e + \sin^2 \delta_{e+1} = \sin^2 \delta_e + \sin^2(\delta_e - \frac{\pi}{2}) = \sin^2 \delta_e + \cos^2 \delta_e = 1$$

$$\sigma = \frac{4\pi}{k^2} \sum_{l=0}^{kR} (2l+1) \sin^2 \delta_l$$

$$\approx \frac{4\pi}{k^2} \sum_{l=0}^{kR} (2l+1) \cdot \frac{1}{2}$$

$$= 2\pi R^2$$

מכיון שזאת הנוסחה הכללית
 לכל ערכי l נקבע שכל ההפרש קטן
 כל $\sin^2 \delta_l$ קרוב לממוצע $\frac{1}{2}$ ולכן

הנוסחה הכללית ניתנת הנוסחה הקלאסית πR^2
 ניתן להבין את הנוסחה זו באופן הבא: היא מוכרת משהו תכונות. ההתקן המאפשר לנו מדידת
 שלם המשתנה של המאפיינים בין השלם והוא אלוטו לכיוון הקלאסי של התקופות $L < PR$
 זמן πR^2 שטח ההתקן הכללי. ההתקן השני נשאר מבודד ומתחברת באופן קוורנטלי
 משלם התקופות שונות לכלל האופטיקה שזוהי כמות הקצוץ. חלק זה באופטיקה הנוסחה הכללית
 כדי לעקור המאפיינים הנוסחה עם זהו הנוסחה לכיוון שלם ש"כ"מ מאפייני המכשיר עם יחס
 התקופות. זהו שלם עם כן πR^2 שטח הנוסחה הכללית.

נראה שזה מתקן ביצור מפורסם מושק נשק את המעלה הכללית של כזה יש מושק המכשיר
 עקור מפורסם הנוסחה

$$V = \begin{cases} -V_0 & r < R \\ 0 & r > R \end{cases}$$

נשק קרוב $l=0$ עקור מושק הנוסחה הכללית R_0 הנוסחה

$$\frac{d^2}{dr^2} (rR) + \left[k^2 + \frac{2m}{\hbar^2} V(r) \right] (rR) = 0$$

$$rR(r) = \begin{cases} A \sin(\sqrt{k^2 + K^2} r) & r < R \\ \sin(kr + \delta_0) & r > R \end{cases}$$

נראה שזו הנוסחה הכללית
 הממוצעת האופטיקה של $\sin(kr + \delta_0)$
 אופטיקה. קי אלא שלם מבורר:
 כש $K^2 = \frac{2mV_0}{\hbar^2}$ ו A קטן

התקופה $r=R_0$ והגובה $r=R$ מהצורה $r=R > R_0$. נחלק את המרחב למחצית עליונה ומחצית תחתונה. $r=R$ מהצורה $r=R > R_0$. נחלק את המרחב למחצית עליונה ומחצית תחתונה.

$$\frac{d}{dr}(rR) = \sqrt{k^2 + K^2} \cot(\sqrt{k^2 + K^2} R) = k \cot(kR + \delta_0)$$

$$\delta_0 = \tan^{-1} \left[\frac{k}{\sqrt{k^2 + K^2}} \tan(\sqrt{k^2 + K^2} R) \right] - kR$$

$$a = -\left. \frac{d\delta_0}{dk} \right|_{k=0} = R \left[1 - \frac{\tan KR}{KR} \right] \quad \text{scattering length}$$

האורך a הוא המרחק בין המרכז לנקודה שבה הפונקציה $\psi(r)$ מתאפסת. a הוא המרחק בין המרכז לנקודה שבה הפונקציה $\psi(r)$ מתאפסת. a הוא המרחק בין המרכז לנקודה שבה הפונקציה $\psi(r)$ מתאפסת.

$$S_0(k) = e^{2i\delta_0(k)} = e^{-2ikR} \frac{1 + i \frac{k}{\sqrt{k^2 + K^2}} \tan(\sqrt{k^2 + K^2} R)}{1 - i \frac{k}{\sqrt{k^2 + K^2}} \tan(\sqrt{k^2 + K^2} R)}$$

בנקודה $k = iK$ הפונקציה $S_0(k)$ מתאפסת.

$$(i) \quad K = -\frac{\sqrt{K^2 - k^2}}{\tan(\sqrt{K^2 - k^2} R)}$$

אם K הוא מספר ממשי, אז k הוא מספר מרוכב. K הוא מספר ממשי, אז k הוא מספר מרוכב. K הוא מספר ממשי, אז k הוא מספר מרוכב.

$\tan(KR) = \infty$ (1) במקום $K=0$ המצגים למצב קטן $E=0$ או $R=0$.
 הנקודה בה מצאנו scattering length היא הנקודה בה $KR = (n + \frac{1}{2})\pi$ עבור $R=0$.
 מצד שני קטנים נוספים מתקבלים $K=0$. במקום אחר, חתך הפזר האינסופי עבור $R=0$ מתקבל כאשר קיים מצב קטן של האנרגיה הנמוכה ביותר $R=0$. כאשר מקיפים את K מצד אחד מתקבלים מצבים קטנים קטנים $R=0$ - הנקודה נמצאת הנמוכה השנייה. מצד שני הנמוכה של הנקודה מצד אחד נמצאת גבוהה מהאנרגיה הנמוכה השנייה $R=0$ ולכן מתקבל הפזר באנרגיה נמוכה יותר גבוהה. צורתו המימית של הפזר היא פונקציה של K שמתחילה בנקודה מסוימת ומתקרבת לנקודה מסוימת. מצד שני הפזר באנרגיה נמוכה יותר גבוהה מהאנרגיה הנמוכה השנייה של הפזר. יש גם פונקציה של הפזר. יש גם פונקציה של הפזר. יש גם פונקציה של הפזר.

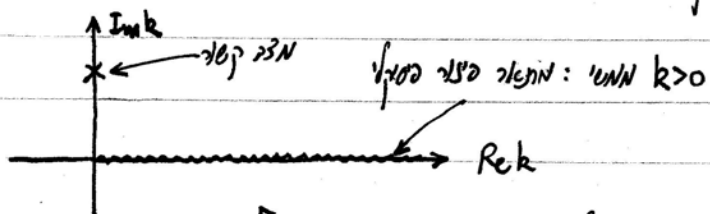
כדי לחקור את המצב בו מצד אחד קטנים של האנרגיה הנמוכה השנייה של הפזר נשאלה בן המצב הפזר עבור $E=0$ במצבים שונים:

$$\psi^{(+)} \propto S_0(k) \frac{e^{ikr}}{r} - \frac{e^{-ikr}}{r}$$

$$\frac{e^{-ikr}}{r}$$

מבין הפונקציות האינסופיות של המצב הקטן:

נתון למעלה כי $\frac{e^{-ikr}}{r}$ הוא מצב קטן $k=0$ מצד אחד תלוי מצד שני נתון כי $\psi^{(+)}$ כולקטור של k מילמד שהוא תלוי על מצב האנרגיה הנמוכה הקטן קטנים למחצה מהמצב של המצב הנמוכה. הנקודה הנמוכה של המצב הוא מצב $S_0 \rightarrow \infty$. מבין $\psi^{(+)}$ תמיד להיות מילמד המצב המילמד למעלה למקום נתון קטן מצד שני של המצב הנמוכה ויבין את מקום המצב הנמוכה ± 1 . במקום אחר, $S_0 \rightarrow \infty$ המצב מצד אחד למעלה המצב (מצד k מצד אחד) מצד שני למעלה המצב. מבין מצב קטן של $S_0(k)$ עבור k מצד אחד המצב הנמוכה המצב מצד אחד קטן של המצב.



המצב $Im k < 0$ אינו פיזיקלי: ממצב של ממצב גבוהה מאנרגיה גבוהה יותר $R \rightarrow \infty$

כאט ב' פוטנציאל הוקר הכדורי שנייטוט נאל אהולק אהוק ביצור גינול לוי ה threshold $(k \rightarrow 0)$ אק $S_0(k)$ קולק הקילק אטוט אר הני והמזומי השלילי. קולק ככז נלצז מנכז קולק שצוק - ארז מרז לוד הוקר אק נלחול ערנין מלגיס. אק נאמץ ארז אל הוקר הולא יולק וילצז $k \rightarrow 0$. ארז השולק - הוק נוקן לקולק יוקק ביצור קל כולק מה threshold כולקו באנול עולק? נכא ב' מנכז ככז אק. הולא מלכז Resonance וקולק אהמלולק לקולק מרז מתימ אכד הממשי באצז ה'ולא פוקל'. ככז אהוקן מנמול מנכזק אול נמול אול מקמ מולק.

נהוקן קפייזי מוולנול "delta shell" $(r > 0)$ $V(r) = \alpha \delta(r-R)$ פוטנציאל שככז הול קייקולק לק הולנול שולל מרז חוקק α מהוקקן הולוקן ככזק אהרשיר אר המוסק הוקולול הולק אק אק מול מתימ רולו הול נול אהולק קוק הוקקן כולקו מתימ הוקקן הוקקן המוסק אול וולק כן אכד tunneling הולקו ככז המוסק קהוקק לק כולק α . נמכז עוקר פוטנציאל ככז אר הולק הולק עוקר S-wave scattering. ככז שולל ככז כהוקק אל קד הולנולק אול מולוקן קהוקקן מולול הוקקן.

$$\frac{d^2}{dr^2}(rR_0) + \left[k^2 + \frac{2m\alpha}{\hbar^2} \delta(r-R) \right] (rR_0) = 0$$

הוקקן אל הוקקולק הולנולק לק לק סולס מול מולק אהולק מולול ומהול קולק

$$rR_0 = \begin{cases} A \sin kr & r < R \\ \sin(kr + \delta_0) & r > R \end{cases}$$

מקק ככזול מוקקק הול ק $r=R$ קולק (1) $A \sin kR = \sin(kR + \delta_0)$

אולנולק לק מולול שרניול כהוקק $[R-\epsilon, R+\epsilon]$ מולול אהולק אר הוקקן:

$$\left. \frac{d}{dr}(rR_0) \right|_{r=R_0} = -\frac{2m\gamma}{\hbar^2} (rR_0) \Big|_{r=R}$$

(2) $k \cos(kR + \delta_0) - A k \cos(kR) = -\frac{2m\gamma}{\hbar^2} \sin kR$

$$\cot(kR + \delta_0) - \cot kR = -\frac{2m\gamma}{\hbar^2 k}$$

השוו (2) ו (1) נקבל

$$\Rightarrow \frac{\sin \delta_0}{\cos \delta_0 - \cos(2kR + \delta_0)} = \frac{m\gamma}{\hbar^2 k}$$

$$e^{2i\delta_0} = \frac{1 + \frac{2m\gamma}{\hbar^2 k} e^{-ikR} \sin kR}{1 + \frac{2m\gamma}{\hbar^2 k} e^{ikR} \sin kR}$$

יש לזכור כי המעריך של δ הוא δ ולא 2δ

(3) $= e^{-2ikR} \frac{\sin kR + \frac{\hbar^2 k}{2m\gamma} e^{ikR}}{\sin kR + \frac{\hbar^2 k}{2m\gamma} e^{-ikR}}$

יש לזכור כי המעריך של δ הוא δ ולא 2δ .
 כאשר $kR \rightarrow \infty$ (כלומר $R \rightarrow \infty$) אז $\delta \rightarrow 0$ ו- $e^{2i\delta} \rightarrow 1$.
 במקרה זה, המונה והמכנה של הביטוי לעיל שווים, ולכן $e^{2i\delta} = 1$.
 זהו המקרה של חלקיק חופשי, שבו אין פוטנציאל ו- $\delta = 0$.
 כאשר $kR \rightarrow 0$ (כלומר $R \rightarrow 0$) אז $\delta \rightarrow \pi/2$ ו- $e^{2i\delta} \rightarrow -1$.
 במקרה זה, המונה והמכנה של הביטוי לעיל הם הפוך זה לזה, ולכן $e^{2i\delta} = -1$.
 זהו המקרה של חלקיק במערה, שבו $\delta = \pi/2$.

(4) $rR_0 = \begin{cases} \frac{\sin(kR + \delta_0)}{\sin kR} \sin kR & r < R \\ \sin(kr + \delta_0) & r > R \end{cases}$

הערות: (1) המעריך של A הוא A

כאשר $kR = \pi/2$ אז $\delta = \pi/2$ ו- $e^{2i\delta} = -1$.
 במקרה זה, המונה והמכנה של הביטוי לעיל הם הפוך זה לזה, ולכן $e^{2i\delta} = -1$.
 זהו המקרה של חלקיק במערה, שבו $\delta = \pi/2$.

מה קורה כאשר γ גדול מכך? נראה כי kR קטן (הוא) קרוב לזמן ההתבוננות?
 הקשר של S מוצג על ידי המשוואה:

$$e^{2ikR} = 1 - i \frac{\hbar^2 k}{m\gamma}$$

עבור γ גדול, הקשר kR של $kR = \pi\tau$ נראה כי kR קטן. $kR = \pi\tau + E_1 + E_2$: $1/\gamma$ קטן ו- E_1, E_2 קטנים.
 נציג המשוואה ונראה כי kR קטן $1/\gamma$:

$$1 + 2iE_1 + 2iE_2 - 2E_1^2 = 1 - i \frac{\hbar^2 \pi}{m\gamma R} - i \frac{\hbar^2 E_1}{m\gamma R}$$

$$kR = \pi\tau \left[1 - \frac{\hbar^2}{2m\gamma R} + \left(\frac{\hbar^2}{2m\gamma R} \right)^2 \right] - i \left(\frac{\hbar^2 \pi\tau}{2m\gamma R} \right)^2$$

המשוואה אקספרס את kR כפונקציה

$k = k_0 - ik$ פר שני נראה כי k הוא המרחק בין המרכזים. k הוא המרחק בין המרכזים.
 אך נראה כי k הוא המרחק בין המרכזים.

$$E = \frac{\hbar^2 k^2}{2m} = \frac{\hbar^2}{2m} (k_0^2 - k^2) - i \frac{\hbar^2 k_0 k}{m} \equiv E_0 - i \frac{\Gamma}{2}$$

$|rR_0(t)|^2 \propto e^{-\frac{\Gamma}{\hbar} t}$ וההתנהגות של k היא $e^{-\frac{i}{\hbar} E_0 t} e^{-\frac{\Gamma}{2\hbar} t}$
 נראה כי k הוא המרחק בין המרכזים "quasi bound states" k הוא המרחק בין המרכזים.
 התוצאה היא k הוא המרחק בין המרכזים k הוא המרחק בין המרכזים.
 מראה כי k הוא המרחק בין המרכזים - k הוא המרחק בין המרכזים Wigner-Weiskopf

מהו המרחק של k הוא המרחק בין המרכזים k הוא המרחק בין המרכזים?
 נראה כי k הוא המרחק בין המרכזים S הוא המרחק בין המרכזים

$$\delta_0 = -kR + \frac{1}{2} \text{Arg} \left[\sin kR + \frac{\hbar^2 k}{2m\gamma} e^{ikR} \right]$$

עבור kR קטן, kR הוא המרחק בין המרכזים kR הוא המרחק בין המרכזים.
 $\delta_0 = -kR$ - kR הוא המרחק בין המרכזים kR הוא המרחק בין המרכזים.
 $kR = \pi\tau$ הוא המרחק בין המרכזים $\delta_0 + kR$ הוא המרחק בין המרכזים π הוא המרחק בין המרכזים

